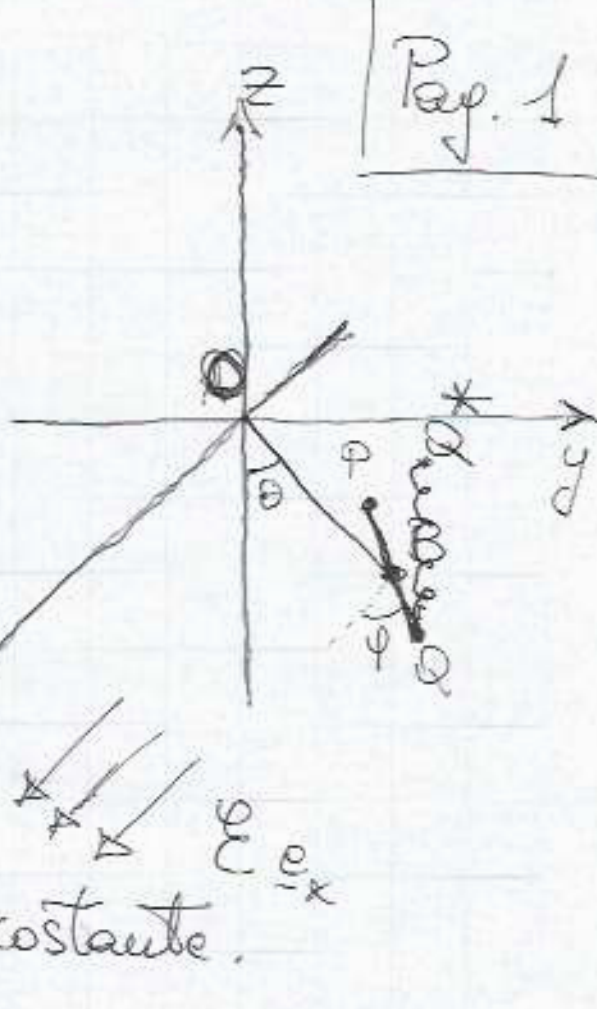


II Appello scritto
di Fisica Matematica
per il mese di Settembre
2018

Pg. 1



$$\overline{OB} = R \text{, wasse astet } n$$

$$\overrightarrow{PQ} = 2e, \text{ massa asta } 2 = m$$

$\vec{PQ} \perp$ assé 2, $\vec{QQ^*} \perp$ plan D_{PQ}

Costante mollezza $Q \cdot Q^* = k$

Carica elettrica in $\mathbb{Q} = q$ $\rightarrow \Sigma \epsilon_{ex}$
 Campo elettrico: $\Sigma \epsilon_{ex}$ con ϵ costante.

(1) Lagrangiano ed equazioni di Lagrange

Utilizziamo gli assi \mathcal{D} e \mathcal{P} come coordinate libere o parametriche. \mathcal{D} è l'asse formato dalla prima retta con la semi-retta formata dalla parte dell'asse \mathcal{Z} con valori negativi. \mathcal{P} è l'asse formato da BQ con la semi-retta uscente da B parallela ed opposta con la semi-retta formata dalla parte dell'asse \mathcal{X} con valori positivi.

Coliniciamo a determinare le coordinate di alcuni p.ti notevoli.

Coord. B: $R(0, \sin\theta, -\cos\theta)$

Coord. Q: $(P \cos \varphi, R \sin \theta + P \sin \varphi, -R \cos \theta)$. | Pag. 2

E' utile calcolare anche

$$V_B = R \dot{\theta} (0, \cos \theta, \sin \theta)$$

Per determinare l'energia cinetica è conveniente applicare il teorema di König alla sezione asta, in modo da ottenere:

$$T = \frac{1}{2} I_1 \dot{\theta}^2 + \frac{1}{2} m V_B \cdot V_B + \frac{1}{2} I_2 \dot{\varphi}^2,$$

dove $I_1 = \frac{M R^2}{3}$, $I_2 = \frac{m R^2}{123} = \frac{m l^2}{3}$.

$$\Rightarrow T = \frac{MR^2}{6} \dot{\theta}^2 + \frac{1}{2} m R^2 \dot{\theta}^2 + \frac{m l^2}{6} \dot{\varphi}^2 \\ = \frac{1}{2} \left(\frac{M}{3} + m \right) R^2 \dot{\theta}^2 + \frac{m l^2}{6} \dot{\varphi}^2.$$

Consideriamo ora l'energia potenziale, che è dato dai seguenti contributi:

$$U = \frac{1}{2} M \frac{v_B^2}{R} + \frac{1}{2} k z_B^2 - q \epsilon_{xQ},$$

dove il fattore $\frac{1}{2}$ nel primo termine (cioè $\frac{1}{2} M v_B^2 / R$) tiene conto del fatto che possiamo assumere che tutta la massa della prima asta sia concentrata

nel suo baricentro, si finisce del pop. 3
calcolo dell'energia potenziale. Inoltre nelle scritture dell'energia potenziale elastica cioè $k z_B^2/2$, abbiamo tenuto conto del fatto che $z_Q = z_B$.

Aprendendo a sostituire le espressioni di z_B e x_Q in funzione delle coordinate libere, otteniamo

$$U = -\left(\frac{1}{2}M+m\right)gR \cos\theta + \frac{k}{2}R^2 \cos^2\theta - q\mathcal{E}\rho \cos\varphi.$$

Possiamo quindi scrivere la lagrangiana

$$L = \frac{1}{2}\left(\frac{M+m}{3}\right)R^2\dot{\theta}^2 + \frac{ml^2}{6}\dot{\varphi}^2 + \left(\frac{M+m}{2}\right)gR \cos\theta - \frac{k}{2}R^2 \cos^2\theta + q\mathcal{E}\rho \cos\varphi.$$

e le eq. di lagrange

$$\left\{ \begin{array}{l} \frac{d}{dt} \frac{\partial L}{\partial \dot{\theta}} - \frac{\partial L}{\partial \theta} = \left(\frac{M+m}{3}\right)R^2\ddot{\theta} + \left(\frac{M+m}{2}\right)gR \sin\theta \\ \qquad - kR^2 \sin\theta \cos\theta = 0 \\ \frac{d}{dt} \frac{\partial L}{\partial \dot{\varphi}} - \frac{\partial L}{\partial \varphi} = \frac{ml^2}{3}\ddot{\varphi} + q\mathcal{E}\rho \sin\varphi = 0 \end{array} \right.$$

(2) Studio della stabilità

Pag. 6

dei p.ti di equilibrio e
della loro stabilità

Dobbiamo innanzitutto risolvere le equazioni

$$\left\{ \begin{array}{l} \frac{\partial U}{\partial \theta} = -kR^2 \sin \theta \cos \theta + \left(\frac{M+m}{2} \right) g R \sin \theta = 0 \end{array} \right.$$

$$\left\{ \begin{array}{l} \frac{\partial U}{\partial \varphi} = qEl \sin \varphi = 0 \end{array} \right.$$

Dalla seconda di queste equazioni segue

$$\sin \varphi = 0 \Rightarrow \varphi = 0, \pi.$$

Dalla prima si ottiene che

$$kR \sin \theta \left(\cos \theta - \frac{\left(\frac{M+m}{2} \right) g}{kR} \right) = 0$$

$$\theta = 0, \pi$$



$$\theta = \pm \beta, \text{ dove } \beta = \arccos \left(\frac{(M+2m)g}{2kR} \right)$$

Ricapitolando, i p.ti
di equilibrio sono

ovviamente queste soluzioni
esistono se $\frac{(M+2m)g}{2kR} \leq 1$.

$$(\theta, \varphi) \in \{(0,0), (0,\pi), (\pi,0), (\pi,\pi), (\pm \beta, 0), (\pm \beta, \pi)\}, \text{ dove}$$

le ultime due coppie esistono se $\frac{(M+2m)g}{2kR} \leq 1$.

Allo scopo di studiare la stabilità | Pag. 5
 dei punti di equilibrio, è conveniente calcolare l'espressione generale dell' hessiano del potenziale, cioè

$$\text{Hess } U = \begin{pmatrix} -kR^2(2\cos^2\theta - 1) + \left(\frac{\mu}{2} + \omega\right)gR\cos\theta & 0 \\ 0 & qEl\cos\varphi \end{pmatrix}$$

Possiamo a considerare l'hessiano nei vari casi particolari, per conoscere dei p.ti di equilibrio.

$$- \text{Caso } (\theta, \varphi) = (0, 0)$$

$$\text{Hess } U \Big|_{\begin{array}{l} \theta=0 \\ \varphi=0 \end{array}} = \begin{pmatrix} \left(\frac{\mu}{2} + \omega\right)gR - kR^2 & 0 \\ 0 & qEl \end{pmatrix}$$

Il secondo autovettore, cioè qEl , è sicuramente positivo, quindi la stabilità dipende esclusivamente dal primo autovettore, che appare in alto sulla diagonale principale -

- Sottocaso $\frac{(\mu+2\omega)g}{2kR} > 1$

Allora allora che $\left(\frac{\mu}{2} + \omega\right)gR - kR^2 = kR^2 \frac{(\mu+2\omega)g}{2kR} > 1$

Siccome entrambi gli autovalori sono positivi, allora $(0,0)$ è STABILE. | Pag. 6

• Sottocaso $\frac{(\bar{M}+2\bar{m})g}{2kR} < 1$

$$\Rightarrow \left(\frac{\bar{M}+\bar{m}}{2} \right) g R - kR^2 < 0 \Rightarrow \text{l'autov. neg. e l'pos.}$$

$\Rightarrow (0,0)$ è INSTABILE

• Sottocaso $\frac{(\bar{M}+2\bar{m})g}{2kR} = 1$

$$\Rightarrow \left(\frac{\bar{M}+\bar{m}}{2} \right) g R - kR^2 = 0 \Rightarrow \text{l'autov. pos e l'nulla}$$

\Rightarrow è necessario un supplemento di informazione

- Caso $(\theta, \varphi) = (0, \pi)$

$$\text{Hess } U \Big|_{\begin{array}{l} \theta=0 \\ \varphi=\pi \end{array}} = \begin{pmatrix} \left(\frac{\bar{M}+\bar{m}}{2} \right) g R - kR^2 & 0 \\ 0 & -g E e \end{pmatrix}$$

Il secondo autovalore, cioè $-g E e$, è sempre negativo

$\Rightarrow (0, \pi)$ è INSTABILE

$$\text{- Caso } (\theta, \varphi) = (\pi, 0)$$

Bsp. 7

$$\text{Hess } U \Big|_{\begin{array}{l} \theta=\pi \\ \varphi=0 \end{array}} = \begin{pmatrix} -kR^2 - \left(\frac{\pi}{2} + \omega\right)gR & 0 \\ 0 & g \epsilon e \end{pmatrix}$$

\Rightarrow 1 autoval. pos. e 1 neg. $\Rightarrow (\pi, 0)$ è INSTABILE.

$$\text{- Caso } (\theta, \varphi) = (\pi, \pi)$$

$$\text{Hess } U \Big|_{\begin{array}{l} \theta=\pi \\ \varphi=\pi \end{array}} = \begin{pmatrix} -kR^2 - \left(\frac{\pi}{2} + \omega\right)gR & 0 \\ 0 & -g \epsilon e \end{pmatrix}$$

\Rightarrow 2 autoval. neg. $\Rightarrow (\pi, \pi)$ è instabile.

$$\text{- Caso } (\theta, \varphi) = (\pm \beta, 0)$$

$$\text{Hess } U \Big|_{\begin{array}{l} \theta=\pm\beta \\ \varphi=0 \end{array}} = \begin{pmatrix} -kR^2 \left(\frac{2(\pi+2\omega)^2 g^2}{2 k^2 R^2} - 1 \right) + \frac{1}{2} (\pi+2\omega) g R \frac{(\pi+2\omega) g}{2 k R} & 0 \\ 0 & g \epsilon e \end{pmatrix}$$

Il secondo autovalore è sicuramente positivo.

Il primo autovalore dipende da

$$kR^2 \left(1 - \frac{(\pi+2\omega)^2 g^2}{4 k^2 R^2} \right).$$

Il segno dipende, ovviamente, dai parametri.

• Sottocaso $\frac{(\bar{M}+2\bar{m})^2}{2kR} < 1$

Pag. 8

Abbiamo allora che entrambi gli autosalvi
sono positivi $\Rightarrow (\pm \beta, 0)$ sono STABILI.

• Sottocaso $\frac{(\bar{M}+2\bar{m})^2}{2kR} > 1$

In questo sottocaso $(\pm \beta, 0) \notin$, quindi è scorretto studiare la stabilità.

• Sottocaso $\frac{(\bar{M}+2\bar{m})^2}{2kR} = 1$

Abbiamo allora che l'autosalv. è pos. e è nullo
 \Rightarrow è necessario un supplemento di indagine.

- Caso $(\theta, \varphi) = (\pm \beta, \pi)$

$$\text{fless } U \Big|_{\begin{array}{l} \theta = \pm \beta \\ \varphi = \pi \end{array}} = \begin{pmatrix} -kR^2 \left(\frac{(\bar{M}+2\bar{m})^2}{2kR^2} \varphi^2 - 1 \right) + \frac{1}{2} \left(\frac{(\bar{M}+2\bar{m})^2}{2k} \varphi^2 \right) & 0 \\ 0 & -g \end{pmatrix}$$

\Rightarrow l'autosalv. è sicuramente nullo, quindi $(\pm \beta, \pi)$ sono p.ti di equilibrio INSTABILI

Ricoesideriamo ora le 3 situazioni che sono riassunte in sospeso, cioè i punti di equilibrio

$$(0, 0), (\beta, 0), (-\beta, 0)$$

quando $\frac{(\bar{H}+2\bar{u})g}{2kR} = 1$.

Osserviamo allora che $\beta = \arccos\left(\frac{(\bar{H}+2\bar{u})g}{2kR}\right)$

$= 0 \Rightarrow (0, 0) \text{ e } (\pm\beta, 0) \text{ sono coincidenti}$

Come, al solito, per ricettare l'occhio un profondo risen-

tivo come nella figura qui a destra.

Si riconosce la classica situazione della biforcazione a forchetta di un punto di equilibrio.

STABILE Siamo quindi portati a congettura-

re che $(0, 0)$ è stabile in corrispondenza al

"caso critico" in cui $\frac{(\bar{H}+2\bar{u})g}{2kR} = 1$.

Per verificarlo, osserviamo che $U: \mathbb{T}^2 \rightarrow \mathbb{R}$

è una funzione definita su un complesso, quindi ammette un punto di minimo e un punto di massimo.

Quando $\frac{(\bar{H}+2\bar{u})g}{2kR} = 1$, ci sono "solo"

Pag. 9

le p.ti stazionari:

Pag. 10

$(0,0), (0,\pi), (\pi,0), (\pi,\pi)$.

Dallo studio della stabilità di questi p.ti di equilibrio, emerge che $(0,\pi), (\pi,0), (\pi,\pi)$ sono o p.ti di sella o p.ti di massimo. Ne segue quindi che il p.t. di minimo non può che essere $(0,0)$, che quindi è di equilibrio stabile per il th. di LaGrange-Dirichlet.

(3A) Si risolvano le equazioni del moto usando il cosiddetto metodo "per quadrature".

(3B) Ci si limiti al caso in cui $M = m = g = R = \rho = q = \varepsilon = 1$. Si individui i valori opportuni di k e delle opportune condizioni iniziali per cui il valore $M > 0$ esistono delle piccole oscillazioni dell'asta attorno alla verticale discendente con moto periodico di periodo $> M$.

L'osservazione fondamentale | pag. 11
 è la seguente: le 2 eq. di Lagrange sono separabili, nel senso che quelle che coinvolge $\dot{\theta}$ non contengono φ e viceversa. Pertanto, entrambe possono essere viste come un problema di meccanica conservativa a 1 grado di libertà.

In dettaglio, consideriamo prima

$$\frac{d}{dt} \frac{\partial L}{\partial \dot{\theta}} - \frac{\partial L}{\partial \theta} = 0, \text{ cioè}$$

$$\left(\frac{M+m}{3}\right)R^2 \ddot{\theta} + \left(\frac{M+m}{2}\right)gR \sin \theta - kR^2 \sin \theta \cos \theta = 0$$

\Rightarrow la legge di conservazione

$$\frac{1}{2} \left(\frac{M+m}{3}\right)R^2 \dot{\theta}^2 - \left(\frac{M+m}{2}\right)gR \cos \theta + \frac{1}{2} kR^2 \cos^2 \theta = E,$$

si noti che nel membro di sinistra compare i termini cinetici e potenziali che dipendono da $\dot{\theta}$. Ovviamente, E è un'energia.

D'altra parte, dall'equazione

$$\frac{d}{dt} \frac{\partial L}{\partial \dot{\varphi}} - \frac{\partial L}{\partial \varphi} = 0, \text{ cioè } \frac{m}{3}l^2 \ddot{\varphi} + qEl \sin \varphi = 0$$

\Rightarrow la legge di conservazione

$$\frac{ml^2}{3} \dot{\varphi}^2 - qEl \cos \varphi = E_\varphi,$$

dove, nel membro di sinistra, sono raccolti i termini di energia cinetica e potenziale che dipendono da φ , $\dot{\varphi}$, mentre, nel membro di destra, E_φ è associata ad un'energia. Utilizzando la solita procedura (per separazione di variabili) che porta alle soluzioni per quadrature di un generico problema di meccanica 1D, si ottiene

$$t - t_0 = \pm \int_{\theta_0}^{\theta} \frac{d\psi}{\sqrt{\frac{2}{(\frac{H}{3} + u)R^2} \left[E_0 + \left(\frac{1}{2} l + u \right) \rho R \cos \psi - \frac{kR^2}{2} \cos^2 \psi \right]}}$$

$$\text{e } t - t_0 = \pm \int_{\varphi_0}^{\varphi} \frac{d\psi}{\sqrt{\frac{6}{m l^2} (E_\varphi + q El \cos \psi)}}$$

Possiamo ora considerare i moti periodici di oscillazione attorno al semiasse obliquamente delle z. È evidente che quando $\varphi_0 = \dot{\varphi}_0 = 0$ allora la seconda eq. di Lagrange è risolta da $\varphi(t) = 0$, quindi possiamo avere "moti oscillatori" nelle

Sola ϑ , che saremmo quindi perciò [Cap. 13]
dici-

Dalla soluzione del punto (2) segue che
quando $\frac{(M+2m)g}{2kR} \rightarrow 1$, possiamo allora

$(0,0)$ è ~~periodico~~^{STABILE} e, quindi, possiamo avere
moti oscillatori vicini ad esso. Sostituendo
i valori dati per M, m, g, R ottieniamo
 $k < \frac{3}{2}$.

Per il teorema delle piccole oscillazioni, applicato alla prima eq. di Lagrange qui d'intorno
di $\vartheta = 0$, ottieniamo

$$\lim_{E \rightarrow \left(\frac{3}{2} + \frac{k}{2}\right)^+} T(E) = 2\pi \sqrt{\frac{4/3}{\frac{3}{2} - k}} = \\ = 2\pi \sqrt{\frac{8}{3(3-2k)}},$$

dove abbiamo utilizzato l'espressione
generale delle derivate seconde del potenziale
rispetto a ϑ , la quale si trova a Cap. 5.

Si fissato $M > 0$, poniamo k in modo
tale che

$$2\pi \sqrt{\frac{8}{3(3-2k)}} = 2M \Rightarrow 3-2k = \frac{8\pi^2}{3M^2}$$

$$\rightarrow k = \frac{3}{2} - \frac{4\pi^2}{3M^2}$$

[Pag. 16]

Per il teorema delle piccole oscillazioni,
 $\exists \varepsilon \in (0, \beta)$ tale che la corrispondente energia

$$E_0 = -\left(\frac{1}{2}M+m\right)gR \cos \varepsilon + \frac{kR^2 \cos^2 \varepsilon}{2}$$

$$= -\frac{3}{2} \cos \varepsilon + \frac{k}{2} \cos^2 \varepsilon$$

è così vicino a quelle del minimo del potenziale,
cioè $-\frac{3}{2} + \frac{k}{2}$, che il corrispondente periodo
di oscillazione disterà meno di M da

$$\lim_{E_0 \rightarrow \left(-\frac{3}{2} + \frac{k}{2}\right)^+} T(E_0) = 2M,$$

Cosa che avviene quando $k = \frac{3}{2} - \frac{4\pi^2}{3M^2}$, come
abbiamo discusso in precedente.

Ne segue che, per quel valore di k e per quel
valore di ε , il moto che fa seguito a

$$(0_0 = \varepsilon, \dot{\theta}_0 = 0, \varphi_0 = 0, \dot{\varphi}_0 = 0)$$

sarà del tipo $t \mapsto (\theta(t), \varphi(t) = 0)$ con $\theta(t)$ perio-
dico di periodo $T\left(-\frac{3}{2} \cos \varepsilon + \frac{k}{2} \cos^2 \varepsilon\right) > M$, così come richiesto.